



Московский государственный университет имени М.В. Ломоносова

Факультет вычислительной математики и кибернетики

Кафедра системного анализа

Отчет по практикуму по суперкомпьютерному моделированию

Вариант 4

Студент 6 курса, 615 группы:

А. В. Горбачёв

Преподаватель:

Н. Н. Попова

Москва, 2024

Содержание

1	Постановка задачи	2
2	Численный метод решения	2
3	Разностная схема решения задачи	4
4	Метод решения системы линейных алгебраических уравнений	7
5	Программная реализация	8
5.1	Последовательная программа	8
5.2	OpenMP	8
5.3	MPI	8
5.4	MPI+OpenMP	8
6	Результаты работы программы	9
	Литература	13

1 Постановка задачи

Область $D \subset \mathbb{R}^2$ - трапеции с вершинами в точках $A(0, 0)$, $B(3, 0)$, $C(2, 3)$, $D(0, 3)$, ограниченной контуром γ , рассматривается дифференциальное уравнение Пуассона:

$$-\Delta u = f(x, y), \quad (1.1)$$

где оператор Лапласа имеет вид:

$$-\Delta u = \frac{\partial^2 u}{\partial x^2} + \frac{\partial^2 u}{\partial y^2}.$$

Функция $f(x, y)$ считается известной. Для выделения единственного решения уравнение дополняется граничным условием Дирихле (см. [1]):

$$u(x, y) = 0, \quad (x, y) \in \gamma \quad (1.2)$$

Требуется найти функцию $u(x, y)$, удовлетворяющую уравнению (1.1) в области D и краевому условию (1.2) на её границе.

2 Численный метод решения

Для приближенного решения задачи (1.1), (1.2) предлагается воспользоваться методом фиктивных областей [2].

Пусть область D принадлежит прямоугольнику $\Pi = \{(x, y) | A_1 < x < B_1, A_2 < y < B_2\}$ (в нашем случае $A_1 = 0, B_1 = 3, A_2 = 0, B_2 = 3$). Обозначим через \bar{D} и $\bar{\Pi}$ замыкания области D и прямоугольника Π соответственно, через Γ - границу прямоугольника Π . Разность множеств

$$\hat{D} = \Pi \setminus \bar{D}$$

называется *фиктивной областью*.

Выберем и зафиксируем малое $\varepsilon > 0$. В прямоугольнике Π рассматривается задача

Дирихле:

$$\begin{aligned} -\frac{\partial}{\partial x} \left(k(x, y) \frac{\partial v}{\partial x} \right) - \frac{\partial}{\partial y} \left(k(x, y) \frac{\partial v}{\partial y} \right) &= F(x, y) \\ v(x, y) &= 0, \quad (x, y) \in \Gamma \end{aligned} \quad (2.1)$$

с кусочно-постоянным коэффициентом

$$k(x, y) = \begin{cases} 1, & (x, y) \in D \\ \frac{1}{\varepsilon}, & (x, y) \in \hat{D} \end{cases} \quad (2.2)$$

и правую часть

$$F(x, y) = \begin{cases} f(x, y), & (x, y) \in D \\ 0, & (x, y) \in \hat{D} \end{cases} \quad (2.3)$$

Требуется найти непрерывную в прямоугольнике Π функцию $v(x, y)$, удовлетворяющую дифференциальному уравнению задачи (2.1) всюду в $\Pi \setminus \gamma$, равную нулю на границе Γ прямоугольника, и такую, чтобы вектор потока

$$W(x, y) = -k(x, y) \left(\frac{\partial v}{\partial x}, \frac{\partial v}{\partial y} \right)$$

имел непрерывную нормальную компоненту на общей части криволинейной границы области D и прямоугольника Π . Последнее означает, что в каждой точке $(x_0, y_0) \in \gamma \cap \Pi$ должно выполняться равенство

$$\lim_{\substack{(x, y) \rightarrow (x_0, y_0) \\ (x, y) \in D}} (W(x, y), n(x_0, y_0)) = \lim_{\substack{(x, y) \rightarrow (x_0, y_0) \\ (x, y) \in \hat{D}}} (W(x, y), n(x_0, y_0)), \quad (2.4)$$

где $n(x, y)$ - вектор единичной нормали к границе γ в точке (x, y) , определенный всюду или почти всюду на кривой.

Известно [2], что функция $v(x, y)$ равномерно приближает решение $u(x, y)$ задачи (1.1), (1.2) в области D , а именно,

$$\max_{P \in \hat{D}} |v(x, y) - u(x, y)| < C\varepsilon, \quad C > 0 \quad (2.5)$$

В частности, $|v(x, y)| < C\varepsilon$ во всех точках кривой γ . Этот результат позволяет получить искомую функцию $u(x, y)$ с любой наперед заданной точностью $\varepsilon > 0$, ре-

шая задачу (2.1), (2.4), вместо задачи (1.1), (1.2). Тем самым, задача Дирихле в криволинейной области приближенно заменяется задачей Дирихле в прямоугольнике с кусочно-постоянным коэффициентом $k(x, y)$.

3 Разностная схема решения задачи

Краевую задачу (2.1), (2.4) предлагается решать численно методом конечных разностей [3]. В замыкании прямоугольника Π определяется равномерная прямоугольная сетка $\bar{\omega}_h = \bar{\omega}_1 \times \bar{\omega}_2$, где

$$\bar{\omega}_1 = \{x_i = A_1 + ih_1, i = 0, 1, \dots, M\}, \quad \bar{\omega}_2 = \{y_j = A_2 + jh_2, j = 0, 1, \dots, N\}$$

Здесь

$$h_1 = \frac{B_1 - A_1}{M}, \quad h_2 = \frac{B_2 - A_2}{N}$$

Через ω_h обозначим множество внутренних узлов сетки $\bar{\omega}_h$, т. е. множество узлов сетки прямоугольника, не лежащих на границе Γ .

Рассмотрим линейное пространство H функций, заданных на сетке ω_h . Обозначим через ω_{ij} значение сеточной функции $\omega \in H$ в узле сетки $(x_i, y_j) \in \omega_h$. Будем считать, что в пространстве H задано скалярное произведение и евклидова норма

$$(u, v) = \sum_{i=1}^{M-1} \sum_{j=1}^{N-1} h_1 h_2 u_{ij} v_{ij}, \quad \|u\|_E = \sqrt{(u, u)} \quad (3.1)$$

В методе конечных разностей дифференциальная задача математической физики заменяется конечно-разностной операторной задачей вида

$$A\omega = B, \quad (3.2)$$

где $A : H \rightarrow H$ - оператор, действующий в пространстве сеточных функций, $B \in H$ - известная правая часть. Задача (3.2) называется *разностной схемой*. Решение этой задачи считается численным решением исходной дифференциальной задачи.

При построении разностной схемы следует аппроксимировать (приближенно заменить) все уравнения краевой задачи их разностными аналогами - сеточными уравнениями, связывающими значения искомой сеточной функции в узлах сетки. Полученные

таким образом уравнения должны быть функционально независимыми, а их общее количество - совпадать с числом неизвестных, т.е. с количеством узлов сетки.

Дифференциальное уравнение задачи (2.1) во внутренних точках сетки аппроксимируется разностным уравнением

$$-\frac{1}{h_1} \left(a_{i+1j} \frac{\omega_{i+1j} - \omega_{ij}}{h_1} - a_{ij} \frac{\omega_{ij} - \omega_{i-1j}}{h_1} \right) - \frac{1}{h_2} \left(b_{ij+1} \frac{\omega_{ij+1} - \omega_{ij}}{h_2} - b_{ij} \frac{\omega_{ij} - \omega_{ij-1}}{h_2} \right) = F_{ij}, \quad i = \overline{1, M-1}, \quad j = \overline{1, N-1}, \quad (3.3)$$

в котором коэффициенты

$$a_{ij} = \frac{1}{h_2} \int_{y_{j-1/2}}^{y_{j+1/2}} k(x_{i-1/2}, t) dt, \quad b_{ij} = \frac{1}{h_1} \int_{x_{i-1/2}}^{x_{i+1/2}} k(t, y_{j-1/2}) dt \quad (3.4)$$

при всех $i = \overline{1, M}, j = \overline{1, N}$. Здесь полуцелые узлы

$$x_{i\pm 1/2} = x_i \pm 0,5h_1, \quad y_{j\pm 1/2} = y_j \pm 0,5h_2.$$

Правая часть разностного уравнения

$$F_{ij} = \frac{1}{h_1 h_2} \iint_{\Pi_{ij}} F(x, y) dx dy, \quad \Pi_{ij} = \{(x, y) : x_{i-1/2} \leq x \leq x_{i+1/2}, y_{j-1/2} \leq y \leq y_{j+1/2}\} \quad (3.5)$$

при всех $i = \overline{1, M-1}, j = \overline{1, N-1}$.

Введем обозначения правой и левой разностных производных по переменным x, y соответственно:

$$\omega_{x,ij} = \frac{\omega_{i+1j} - \omega_{ij}}{h_1}, \omega_{\bar{x},ij} = \omega_{x,i-1j} = \frac{\omega_{ij} - \omega_{i-1j}}{h_1}, \\ \omega_{y,ij} = \frac{\omega_{ij+1} - \omega_{ij}}{h_2}, \omega_{\bar{y},ij} = \omega_{y,ij-1} = \frac{\omega_{ij} - \omega_{ij-1}}{h_2}.$$

С учетом принятых обозначений разностное уравнение (3.3) можно представить

в более компактном и удобном виде:

$$-(a\omega_{\bar{x}})_{x,ij} - (b\omega_{\bar{y}})_{y,ij} = F_{ij}, \quad i = \overline{1, M-1}, j = \overline{1, N-1} \quad (3.6)$$

Краевые условия Дирихле задачи (2.1), (2.4) аппроксимируется точным равенством

$$\omega_{ij} = \omega(x_i, y_j) = 0, \quad (x_i, y_j) \in \Gamma \quad (3.7)$$

Переменные заданные ω_{ij} , заданные равенством (3.7), исключаются из системы уравнений (3.6). В результате остаются неизвестными значения ω_{ij} при $i = \overline{1, M-1}$, $j = \overline{1, N-1}$ и их количество совпадает с числом уравнений. Система является линейной относительно неизвестных величин и может быть представлена в виде (3.2) с самосопряженным и положительно определенным оператором

$$A\omega = -(a\omega_{\bar{x}})_x - (b\omega_{\bar{y}})_y$$

и правой частью F , определенной равенством (3.5). Таким образом, построенная разностная схема (3.6), (3.7) линейна и имеет единственное решение при любой правой части (см. [5]).

Замечание. Интегралы (3.4) от кусочно-постоянной функции $k(x, y)$ следует вычислять аналитически. Нетрудно видеть, что если отрезок, соединяющий точки $P_{ij} = \{x_{i-1/2}, y_{j-1/2}\}$ и $P_{ij+1} = \{x_{i-1/2}, y_{j+1/2}\}$, целиком расположен в области D , то $a_{ij} = 1$. Если же указанный отрезок находится в фиктивной области \hat{D} , то $a_{ij} = 1/\varepsilon$. В противном случае

$$a_{ij} = h_2^{-1}l_{ij} + (1 - h_2^{-1}l_{ij})/\varepsilon,$$

где l_{ij} - длина той части отрезка $[P_{ij}, P_{ij+1}]$, которая принадлежит области D . Аналогичным образом вычисляются коэффициенты b_{ij} .

Очевидно, правая часть схемы F_{ij} равна нулю при всех $(i, j) : P_{ij} \subset \hat{D}$. Если $P_{ij} \subset D$, то правую часть предлагается приближенно заменить значением $f(x_i, y_j)$. В противном случае, когда прямоугольник P_{ij} содержит точки оригинальной области D и фиктивной области \hat{D} , величина F_{ij} может быть вычислена приближенно как произведение

$$(h_1 h_2)^{-1} S_{ij} f(x_i^*, y_j^*),$$

где (x_i^*, y_j^*) - любая точка пересечения $\Pi_{ij} \cap D$, $S_{ij} = \text{mes}(\Pi_{ij} \cap D)$ - площадь пересечения областей, при вычислении которой криволинейную часть границы можно заменить отрезком прямой.

4 Метод решения системы линейных алгебраических уравнений

Приближенное решение разностной схемы (3.6), (3.7) может быть получено итерационным методом скорейшего спуска [4]. Этот метод позволяет получить последовательность сеточных функций $\omega^{(k)} \in H$, $k = 1, 2, \dots$, сходящуюся по норме пространства H к решению разностной схемы, т.е.

$$\|\omega - \omega^{(k)}\|_E \rightarrow 0, \quad k \rightarrow +\infty.$$

Начальное приближение $\omega^{(0)}$ можно выбрать любым способом, например, равным нулю во всех точках расчетной сетки.

Метод является одношаговым. Итерация $\omega^{(k+1)}$ вычисляется по итерации $\omega^{(k)}$ согласно равенствам:

$$\omega_{ij}^{(k+1)} = \omega_{ij}^{(k)} - \tau_{k+1} r_{ij}^{(k)}, \quad (4.1)$$

где невязка $r^{(k)} = A\omega^{(k)} - B$, итерационный параметр

$$\tau_{k+1} = \frac{(r^{(k)}, r^{(k)})}{Ar^{(k)}, r^{(k)}}.$$

В качестве условия остановки итерационного процесса следует использовать неравенство

$$\|\omega^{(k+1)} - \omega^{(k)}\|_E < \delta,$$

где δ - положительное число, определяющее точность итерационного метода. Оценку точности приближенного решения можно проводить в других нормах пространства сеточных функций, например, в максимум норме

$$\|\omega\|_C = \max_{x \in \omega_h} |\omega(x)|. \quad (4.2)$$

Константу δ для данной задачи предлагается выбрать так, чтобы итерационный процесс укладывался в отведенное для него время.

5 Программная реализация

5.1 Последовательная программа

В программе реализован алгоритм, описанный выше.

5.2 OpenMP

Для эффективного применения OpenMP мы добавили соответствующие директивы (`#pragma omp parallel for reduction`, `#pragma omp parallel for`) при подсчете скалярного произведения, вычитания матриц, домножения матрицы на число и применения линейного оператора A к матрице.

5.3 MPI

Для выполнения вычислений на системе с распределенной памятью мы применяем MPI. В зависимости от количества доступных процессов, область разбивается на несколько неперекрывающихся прямоугольников, охватывающих всю исходную область. Каждый из этих прямоугольников назначается отдельному процессу, и для работы с матрицами меньшего размера выполняются операции, аналогичные тем, что используются в последовательном коде. Основная сложность заключается в управлении граничными узлами этих минипрямоугольников, которые могут находиться на других процессах. Поэтому, перед применением линейного оператора, необходимо обеспечить доступ ко всем "граничным" значениям, это делаем с помощью пересылок. Скалярное произведение также требуют взаимодействия между процессами, это обеспечивается с помощью операции редукции суммы.

5.4 MPI+OpenMP

OpenMP применялся на каждом MPI процессе, аналогично предпоследнему пункту.

6 Результаты работы программы

Численные эксперименты проводились на вычислительном комплексе Polus. Для расчётов значение δ фиксировалось равным $1e-6$ для сетки 160×180 , $1e-7$ - для сетки 90×80 .

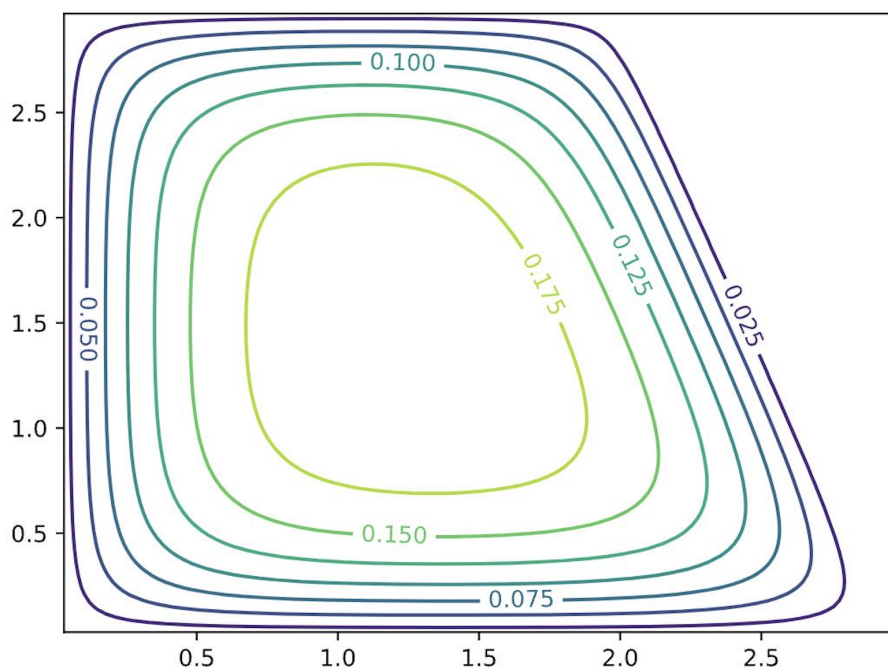


Рис. 1: Визуализация полученного решения

Количество OpenMP-нитей	Число точек сетки ($M \times N$)	Число итераций	Время решения (сек)	Ускорение
1	90×80	10163	54.4446	-
2	90×80	10163	51.0589	1.066
4	90×80	10163	15.4232	3.53
8	90×80	10163	12.1214	4.49
16	90×80	10163	6.51317	8.359
32	90×80	10163	7.16019	7.60379
1	160×180	2449	40.2252	-
2	160×180	2449	25.1355	1.6
4	160×180	2449	10.0136	4.017
8	160×180	2449	10.555	3.811
16	160×180	2449	3.76451	10.685
32	160×180	2449	3.73268	10.776

Таблица 1: Расчеты на Polus (OpenMP)

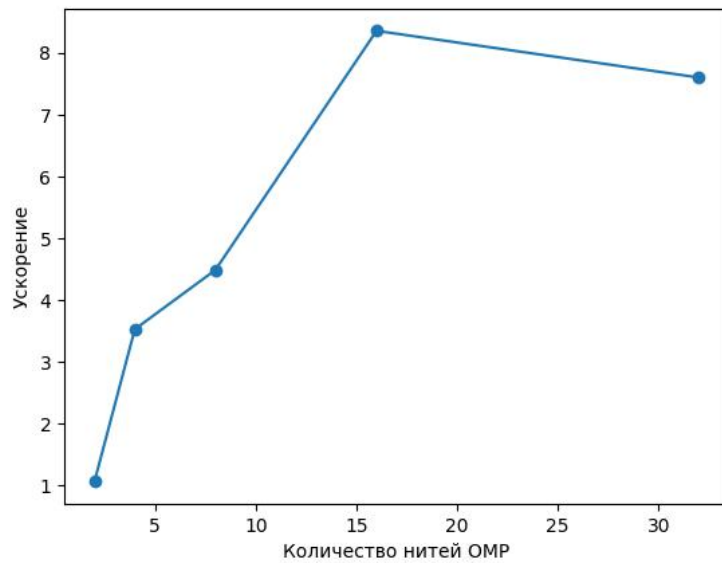


Рис. 2: Ускорение на сетке 80×90 для OMP

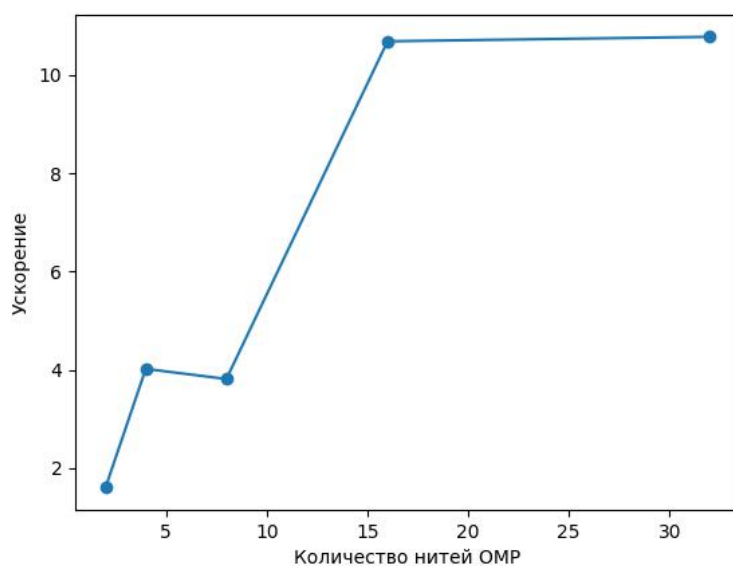


Рис. 3: Ускорение на сетке 160×180 для OMP

Количество процессов MPI	Количество OpenMP-нитей в процессе	Число точек сетки ($M \times N$)	Число итераций	Время решения (сек)	Ускорение
2	1	80×90	10163	23.6699	1.0
2	2	80×90	10163	11.7185	2.0199
2	4	80×90	10163	11.1894	2.11539
2	8	80×90	10163	13.961	1.3178
4	1	160×180	2449	12.29	1.0
4	2	160×180	2449	7.617	1.6135
4	4	160×180	2449	5.8817	2.0895
4	8	160×180	2449	5.979	2.05553

Таблица 2: Таблица с результатами расчетов на Polus (MPI+OpenMP код)

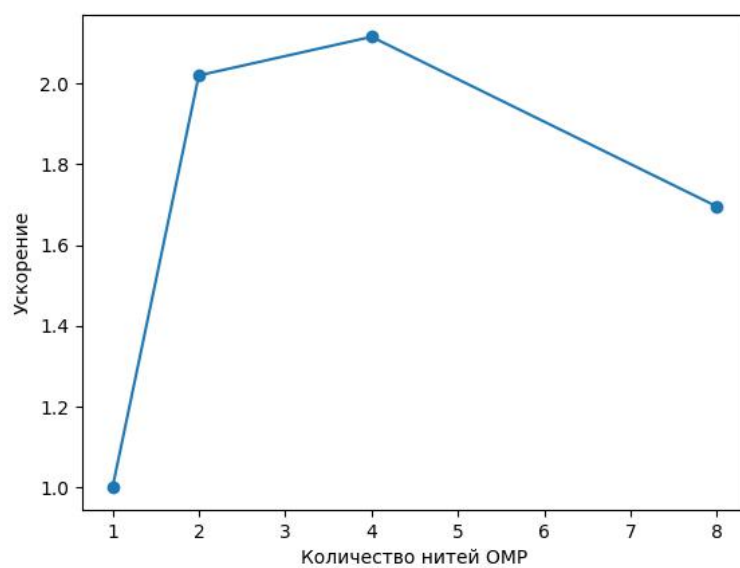


Рис. 4: Ускорение на сетке 800×90 для 2х MPI-процессов

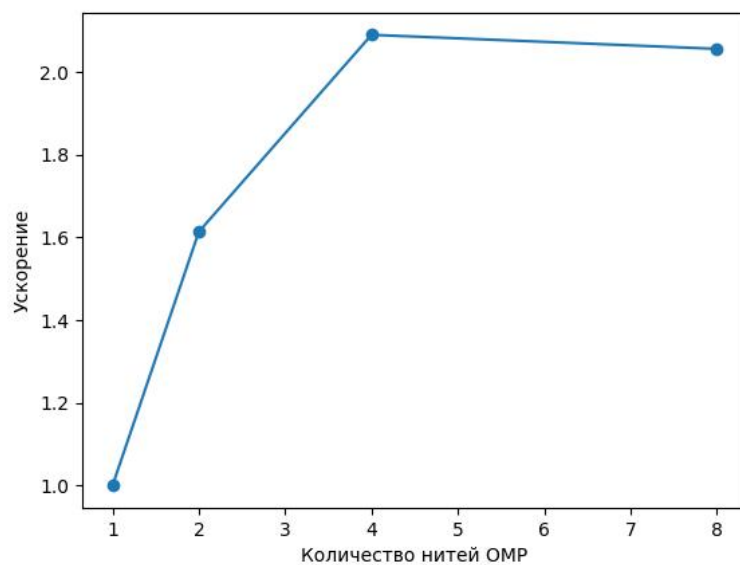


Рис. 5: Ускорение на сетке 160×180 для 4х MPI-процессов

Список литературы

- [1] Тихонов А. Н., Самарский А. А. *Уравнение математической физики*. М.: Наука, 1977.
- [2] Марчук Г. И. *Методы вычислительной математики*. М.: Наука, 1989.
- [3] Самарский А. А. *Теория разностных схем*. М.: Наука, 1989.
- [4] Самарский А. А., Гулин А. В. *Численные методы*. М.: Наука, 1989.
- [5] Ильин В. А., Ким Г. Д. *Линейная алгебра и аналитическая геометрия* М.: Издательство Московского университета, 2002.
- [6] IBM Polus - <http://hpc.cmc.msu.ru>